



中国科技核心期刊
(中国科技论文统计源期刊)
宁夏回族自治区核心卫生学术期刊

ISSN 1674-6309
CN 64-1064/R

宁夏医科大学

NINGXIA YIKE DAXUE XUEBAO

学报

JOURNAL OF NINGXIA MEDICAL UNIVERSITY

第37卷 第8期
Vol.37 No.8

2015

8

ISSN 1674-6309



08>

9 771674 630107

宁夏医科大学学报

NINGXIA YIKE DAXUE XUEBAO

主办/主管单位

宁夏医科大学

编 辑

宁夏医科大学学报编辑委员会

主 编

孙 涛

出 版

宁夏医科大学学报编辑部

地址:宁夏银川市胜利街 692 号

电话 / 传真:(0951)4091605

邮编:750004

http://xbonline.nxmu.edu.cn

E-mail: nyxb@nxmu.edu.cn

nxmusb@163.com

广告经营许可证

6400004000090

排版印刷

宁夏精捷彩色印务有限公司

发 行

国内:宁夏银川市邮政局

国外:中国国际图书贸易总公司

(北京 399 信箱 100044)

国内订阅 全国各地邮局

邮发代号 国内 74-35

国外 BM7342

国内定价

每期:10.00 元 全年:120.00 元

中国标准刊号

ISSN 1674-6309

CN 64-1064/R

目 次

回医药学

- 回医理筋疗法治疗颈型颈椎病临床疗效研究 廖晓, 马惠昇, 穆静, 杨平, 张萍, 赵宁建(861)

论 著

- 人快速型肌球蛋白结合蛋白 C 原核表达载体的构建及表达纯化 冯利强, 刘幸卉, 陈荣, 曾慧君, 黄维一, 廖华(865)
THP-1 单核细胞向泡沫细胞分化过程中 FABP4 表达量的变化 周龙霞, 陈久凯, 杨安宁, 张鸣号, 王艳华, 马文斌, 赵丽, 刘现梅, 姜怡邓, 曹军(869)
环磷酰胺所致卵巢早衰大鼠模型的研究 张永芳, 马会明, 王永峰, 李永丽, 梁蕾, 王燕蓉, 裴秀英, 徐仙(874)
黄芪甲苷对大鼠脑出血后脑水肿及水通道蛋白 4 表达的影响 赵剑, 刘广辉, 梁亮, 李盟, 赵冉然, 张莲香, 王效军, 秦毅(879)
小鼠细粒棘球蚴感染慢性期小肠 IEL 中 $\gamma\delta$ T 细胞的变化 何鑫, 黎明, 张晓霞, 王浩, 赵嘉庆(883)
中国 NSCLC 人群 GWAS 初筛的 29 个 SNP 在宁夏人群的验证 杜雪飞, 白云鹏, 姜敏, 王怡瑞, 黄永清(887)
定量研究血管新生的 Matrigel plug 体内模型建立 陈昕, 裴秀英, 马建军, 刘欢, 马雯, 刘京瑞, 姜飞娥, 安继祥, 李媛, 张淑雅(893)
灯盏花素对大鼠出血性脑损伤神经细胞凋亡的影响 曹羿堃, 胡嘉航, 卢经纬, 王效军, 秦毅, 何仲义, 张莲香(897)
黄芪与红芪益气养血复方对缺血脑卒中大鼠的保护作用比较 李晨, 刘竞辉, 崔建奇(901)
胃癌 BGC-823 细胞增殖与 NOTCH1 和 HES1 表达的关系 张竟文, 徐方, 胡以平, 秦憬, 张建中(906)
宁夏回族群体线粒体基因编码区多态性研究 余冰, 颜昊, 耿芝, 盛优静, 陆宏, 霍正浩(910)
腰围臀围比与慢性肾脏病间的相关性分析 田延红, 周晓玲, 吴丽华, 陈孟华(913)
人肝癌组织中肝癌干细胞的分离培养与初步鉴定 马俊明, 雷鹏, 王琦(917)
外周血白细胞计数水平与回汉民族原发性高血压的关联研究 邓治中, 贺鹏飞, 刘贺荣, 强艳, 张伟, 宋辉(923)
宁夏同心县 ≥50 岁人群年龄相关性黄斑变性患病率、危险因素及致盲情况分析 向伟, 李慧平, 刘洋, 张雯, 薛中淇, 迟昊, 郭慧青, 房心荷, 庄文娟(927)
社区获得性肺炎住院儿童呼吸道分泌物和血清病原学检测及病例流行病学分析 张永平, 牛得水, 徐锦华, 张永红, 赵永华, 张静(931)
2010-2014 年宁夏新生儿先天性甲状腺功能减低症和苯丙酮尿症筛查分析 毛新梅, 井森, 李晓强, 高治会, 刘媛(934)

经验交流

- 腹部与心脏相控阵线圈对前列腺 MR 成像质量的对比研究 张俊, 蔡磊, 尹雪梅, 李鹏, 郭玉林, 陈志强(938)

- 预见性双侧去骨瓣减压术治疗重度颅脑损伤的疗效 马忠科,陈文娟,王晓峰(941)
宁夏某涉锰企业工作场所锰浓度和职业病防护设施效果分析 孙伟,林虹,谢峰,耿敬东,杨文海,顾芸(944)
血小板相关 IgG 与网织血小板联合检测在原发免疫性血小板减少症诊断中的应用 贾咏存,李芹,朴文花(947)
妊娠期肝内胆汁淤积症对围产儿结局的影响 秦淑芬,邹云琴,胡晓云,焦晓坤(949)
雌激素及其受体对睾丸生精功能的影响 王莹,刘永杰,刘芳,白刚,唐大伟,金锐,包俊华(951)
症状性子宫肌瘤子宫内膜中 MMP-2、MMP-9 的表达及二者相关性 张莉,高巍,任熙,杨晶晶,任艳梅(954)
女性更年期临床症状与血清雌激素和促卵泡刺激素水平的关系 张琼梅,于英,肖玲(956)
血清 HE4 联合 CA125、CA199 检测对上皮性卵巢癌的诊断价值 李秀华,冯梅,钟沛霖,郭爱华(959)
腹腔镜联合胆道镜保胆取石术对胆囊结石合并肝硬化的治疗效果 任勇刚,李德元(962)
急性冠脉综合征患者临界病变介入干预对血清 MMP-2、IL-6 的影响 焦峰军,李欢,史静怡,王稳,赵志林(965)
乙肝肝硬化合并糖尿病患者血清补体 C3、C4 水平的临床观察 袁娟,张爱芸,王煜,马娟,王珍珍,张旭,马燕,刘鑫(967)
支气管镜检查对痰菌阴性拟诊肺结核的诊断价值 马刚,张淑香,郭丽萍,折红玉,郑西卫(969)
某院静脉用药集中调配中心调配住院患者抗菌药物应用分析 马全武,吴燕,何艳萍,马学礼,丁杰,余娜,张立成(971)
围手术期抗菌药物合理应用干预效果分析 王波,李磊,马立旭,刘媛,佟叔远,武晓旭,王新剑(974)
经后路肋横突切除术治疗胸椎爆裂骨折合并脊髓损伤临床疗效 蒋磊,岳学锋(976)
牙种植术后口服补肾固齿丸对种植体骨性结合的影响 范莉,刘一涵(979)
青蒿琥酯治疗非洲贝宁人脑型疟疾 45 例疗效分析 卢燕,雷捷,Dansi Victor(981)

技术与方法

- 五淋化石胶囊中绿原酸 HPLC 检测方法的建立及其评价 王秀芬,张福宝(983)

病例报道

- 伴快速眼动睡眠行为障碍的帕金森病 1 例报道并文献复习 孙世辉,涂小平,杜彦辉,张庆,张丽芳(985)
产前诊断 15q11-13 缺失型 Angelman 综合征 1 例 张慧萍,万艳,詹福寿,马威,芮淑贤,史向荣(988)
硬皮病样表现的皮下结节型结节病 李东,扈容英,董灵娣,喻楠(989)
风湿热舞蹈病 1 例 牛朋影,蒋磊,宋静(991)

补充

- 请作者在撰写论文时使用参考文献 (868)
离心机转速的写法及相对离心力的正确表示 (872)
科技期刊论文中参数与偏差范围的表示 (878)
医学论文中统计学处理结果的解释和表达 (946)
关于加注“通信作者”的要求 (953)
参考文献中英文作者名的著录方法 (964)

《宁夏医科大学学报》

编委会主任：王燕蓉

本期执行编委和特约专家：

(以姓氏笔画为序)

王 银 王燕蓉
马英锋 宋琦如
张红梅 周 娅
焦海燕 赵 巍
苟国敬 郭忠琴

组版编辑：王秀玉

英文编辑：张毓洪

校 对：王秀玉



Journal of Ningxia Medical University

Monthly Founded in 1979 Volume 37 Number 8 Aug 30, 2015

Sponsor

Ningxia Medical University

Edited by

Editorial Committee of

Journal of Ningxia Medical University

Editor-in-chief

SUN Tao

Published by

Editorial Board of

Journal of Ningxia Medical University

No.692, Shengli Street, Yinchuan, Ningxia
750004

Tel/Fax:(0951)4091605

<http://xbonline.nxmu.edu.cn>

E-mail: nyxb@nxmu.edu.cn

nxmusb@163.com

Advertisement Agency

6400004000090

Printed by

Ningxia Jingjie Colour

Printing Company Ltd

Domestic Distributor

Yinchuan Post Office Code No:74 -35

Overseas Distributor

China International Book Trading

Corporation (P.O.Box 399,Beijing,China)

Code No. BM7342

Subscription Rate (Domestic)

¥10.00

CSSN

ISSN 1674-6309

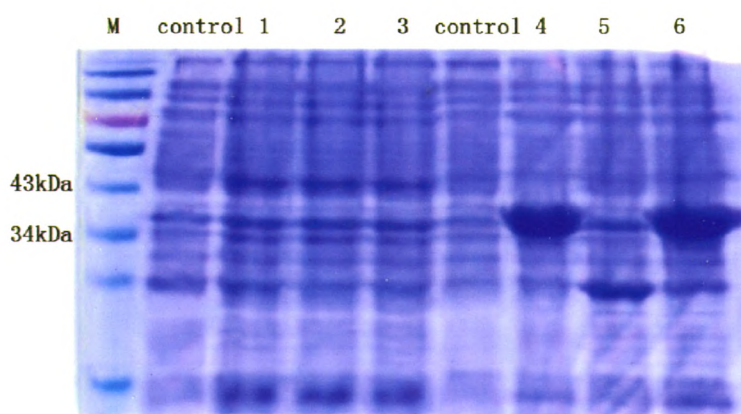
CN 64-1064/R

CONTENTS OF MAIN ARTICLES

- The Clinical Effects of Hui Medicine Massage Technique in Treating Cervical Spondylosis of Neck Type LIAO Xiao, MA Huisheng, MU Jing, YANG Ping, ZHANG Ping, ZHAO Ningjian(864)
- Construction, Expression and Purification of a Prokaryotic Expression Vector for Human Myosin Binding Protein C FENG Liqiang, LIU Xinghui CHEN Rong, ZENG Huijun, HUANG Weiyi, LIAO Hua(873)
- Expression of FABP4 during THP-1 Monocytes Differentiation of into Macrophages and Foam Cells ZHOU Longxia, CHEN Jiukai, YANG Anning, ZHANG Minghao, WANG Yanhua, MA Wenbin, ZHAO Li, LIU Xianmei, JIANG Yideng, CAO Jun(873)
- The Research on Rat Model of Premature Ovarian Failure Cause by Cyclophosphamide ZHANG Yongfang, MA Huiming, WANG Yongfeng, LI Yongli, LIANG Lei, WANG Yanrong, PEI Xiuying, XU Xian(878)
- The Influence of Astragaloside IV on Aquaporin 4 Expression and Brain Edema after Intracerebral Hemorrhage in Rats ZHAO Jian, LIU Guanghui, LIANG Liang, LI Meng, ZHAO Ranran, ZHANG Lianxiang, WANG Xiaojun, QIN Yi(886)
- Changes of Intestinal IEL⁺ γδT Cells in Chronic Stage of the Infection with *Echinococcus Granulosus* in Mice HE Xin, LI Ming, ZHANG Xiaoxia, WANG Hao, ZHAO Jiaqing(885)
- Validating of 29 SNPs Selected from the First GWAS Studies of Chinese Population within Non-syndromic Cleft Lip / Palate in Ningxia Population DU Xuefei, BAI Yunpeng, JIANG Min, WANG Yirui, HUANG Yongqing(892)
- Establishment of a Novel Method to Quantify Angiogenesis in Subcutaneous Matrigel Plug CHEN Xi, PEI Xiuying, MA Jianjun, LIU Huan, MA Wen, LIU Jingrui, JIANG Fei'e, AN Jixiang, LI Yuan, ZHANG Shuya(896)
- The Influence of Erigeron on Apoptosis of Cerebral Hemorrhage in Rats CAO Yikun, HU Jiahang, LU Jingwei, WANG Xiaojun, QING Yi, HE Zhongyi, ZHANG Lianxiang(900)
- Protective Effect of Radix Astragali and Radix Hedyseri in Yiqiyanxue Decoction on Cerebral Ischemia Injury in Rats LI Chen, LIU Jinghui, CUI Jianqi(905)
- The Expression of HES1 and NOTCH1 in the Proliferation of Gastric Carcinoma Cell Line BGC-823 ZHANG Jingwen, XU Fang, HU Yiping, QIN Jing, ZHANG Jianzhong(909)
- Polymorphism of Mitochondrial DNA in the Coding Region of Hui Ethnicities in Ningxia YU Bing, YAN Hao, GENG Zhi, SHENG Youjing, LU Hong, HUO Zhenghao(922)
- Association between Waist-to-hip Ratio and Chronic Kidney Disease TIAN Yanhong, ZHOU Xiaoling, WU Lihua, CHEN Menghua(916)
- Isolation, Culture and Identification of Human Hepatic Cancer Stem Cells from Hepatocellular Carcinom Tissues MA Junming, LEI Peng, WANG Qi(921)
- Relationship between WBC Count Levels and Essential Hypertension of Hui and Han Ethnic Group DENG Zhizhong, HE Kunpeng, LIU Herong, QIANG Yan, ZHANG Wei, SONG Hui(926)
- Prevalence Investigation of Age-related Macular Degeneration among Populations Aged 50 Years or Above in Tongxin County of Ningxia XIANG Wei, LI Huiping, LIU Yang, ZHANG Wen, XUE Zhongqi, CHI Hao, GUO Huiqing, FANG Xinhe, ZHUANG Wenjuan(930)
- Pathogenic Analysis of Community Acquired Pneumonia in 309 Hospitalized Children ZHANG Yongping, NIU Deshui, XU Jinhua, ZHANG Yonghong, ZHAO Yonghua, ZHANG Jing(937)
- Screening and Analysis for Congenital Hypothyroidism and Phenylketonuria in Neonatal Children of Ningxia MAO Xinmei, JING Miao, LI Xiaoqiang, GAO Zhihui, LIU Yuan(937)

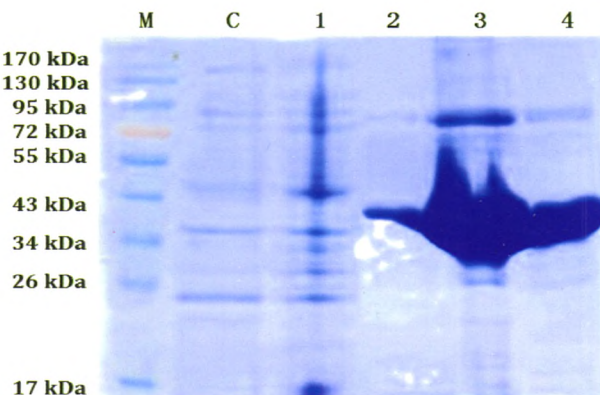
人快速型肌球蛋白结合蛋白C原核表达载体的构建及表达纯化

(正文见第865页)



M: protein marker; control: BL21(DE3)-pET28a; 1~3: BL21(DE3)-pET28a-MYBPC2未诱导1~3号菌; 4~6: BL21(DE3)-pET28a-MYBPC2用0.5mmol·L⁻¹IPTG诱导4~6号菌

图4 BL21 (DE3) -pET28a-MYBPC2融合蛋白的表达

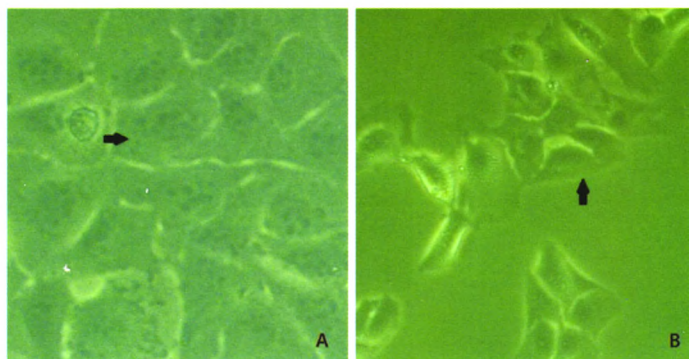


M: protein marker; C: BL21(DE3)-pET28a; 1: BL21(DE3)-pET28a-MYBPC2未诱导1号菌; 2~4: BL21(DE3)-pET28a-MYBPC2用0.5mmol·L⁻¹IPTG诱导2~4号菌

图5 BL21 (DE3) -pET28a-MYBPC2融合蛋白的纯化

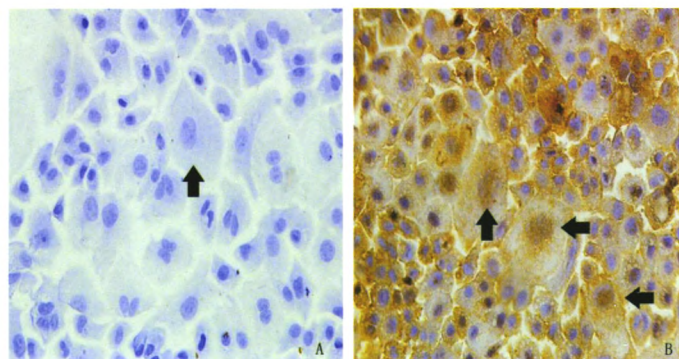
胃癌BGC-823 细胞增殖与NOTCH1和HES1表达的关系

(正文见第906页)



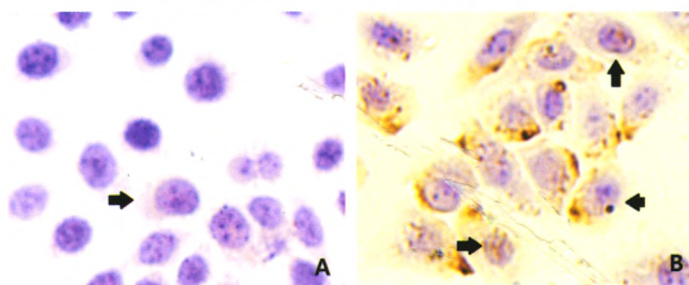
A: BGC-823 细胞，细胞多角形，体积比较大；
B: LEPC细胞，细胞大小较一致

图1 倒置显微镜下观察培养细胞 (× 400)



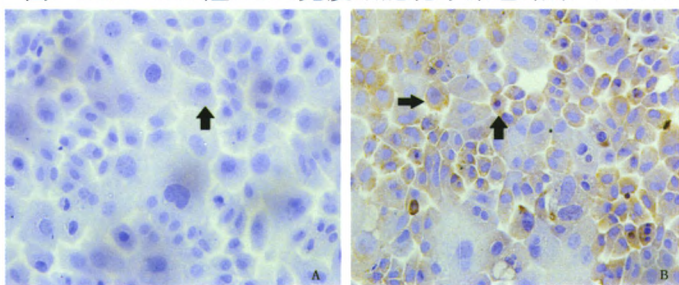
A: BGC-823 组阴性对照，无阳性细胞(↑)；B: BGC-823 组明显阳性(↑)

图3 BGC-823 组HES1免疫细胞化学染色结果 (× 400)



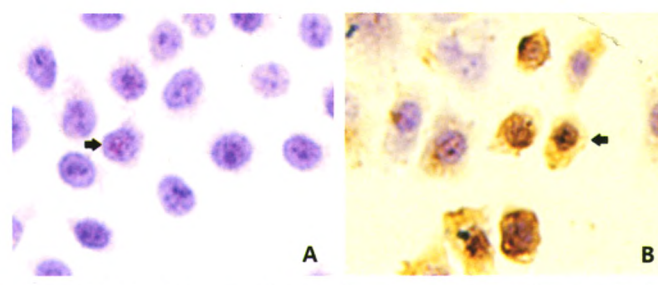
A: LEPC组阴性对照，无阳性细胞(↑)；B: LEPC组部分细胞阳性(↑)

图4 LEPC组HES1免疫细胞化学染色结果 (× 400)



A: BGC-823 组阴性对照，无阳性细胞(↑)；B: BGC-823 组少数细胞阳性(↑)

图6 BGC-823 组NOTCH1免疫细胞化学染色结果 (× 400)



A: LEPC组阴性对照，无阳性细胞(↑)；B: LEPC组少数细胞阳性(↑)

图7 LEPC组NOTCH1免疫细胞染色结果 (× 400)